

NOTATKI MIKOLOGICZNE Z LASÓW BARDA ŚLĄSKIEGO  
I SOBÓTKI NA DOLNYM ŚLĄSKU*Notices mycologiques des forêts à Bardo Śląskie et Sobótka  
en Basse Silésie*

Wanda Truszkowska

Materiały mikologiczne, przedstawione niżej, zebrano w latach 1955—1959 w lasach mieszanych Barda Śląskiego i Sobótki w województwie wrocławskim. *Ascomycetes* zestawiono wg systemu Munka (1957), a stadia konidialne, należące do *Fungi Imperfecti*, wg Barneta (1956).

Przy gatunkach mało znanych z Polski zamieszczono krótki opis ich cech.

## ASCOMYCETES

## ASCOHYMENIALES, SPHAERIALES

*Xylariaceae**Hypoxyloae**Hypoxylon fragiforme*[= *H. coccineum* Bull.]

Bardo Śląskie. Na martwych gałęziach drzew liściastych, trudnych do zidentyfikowania z powodu daleko posuniętego rozkładu. XI.55 i V.56.

*Hypoxylon fuscum* (Pers. ex Fr.) Fr.

Bardo Śląskie. Na martwych gałęziach drzew liściastych, leżących na ziemi. V.56.

### Quaternarieae

*Lopadostoma turgidum* (Pers.) Trav.

[= *Antostoma turgidum* Wint.]

Bardo Śląskie. Na martwych gałęziach *Fagus silvatica*. V.56.

### Diatrypeae

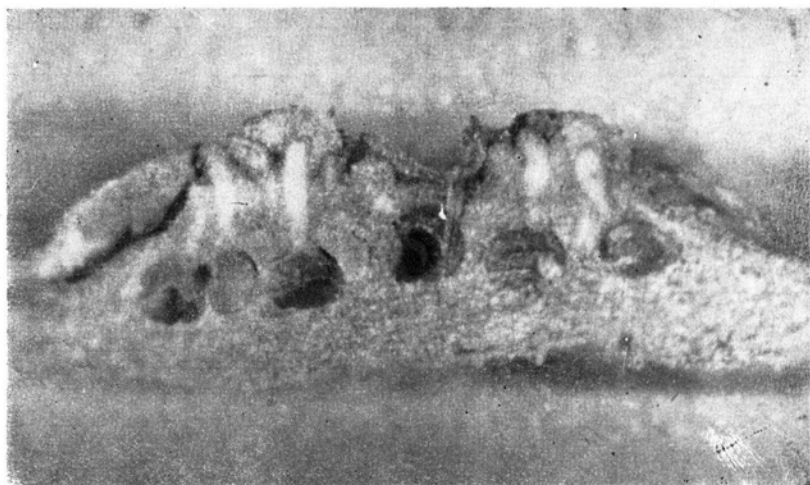
*Diatrypella verrucaeformis* (Ehrh.) Nke.

Bardo Śląskie. Na martwych gałęziach *Fagus silvatica*. XI.58.

*Diatrypella pulvinata* Nke.

Bardo Śląskie. Na martwych gałązkach *Quercus* sp. V.58. (ryc. 1).

*Diatrype stigma* (Hoffm. ex Fr.) Fr.



Ryc. 1. *Diatrypella pulvinata*. Przekrój przez podkładkę uwidoczniający otocznie

Bardo Śląskie. Na martwych gałęziach *Corylus avellana* XI.55, na *Fagus silvatica* V.56, i na *Quercus* sp. V.58.

*Diatrype disciformis* (Hoffm. ex Fr.) Fr.

Bardo Śląskie. Na martwych gałęziach *Fagus silvatica*. Występuje masowo. V.56.

### Diaporthaceae

#### Diaporthoidae

*Valsa pustulata* Auersv.

Bardo Śląskie. Na martwych gałęziach *Fagus silvatica*, V.58, Sobótka przy drodze na Ślężę, również na *F. silvatica*, VI.59.

*Valsa ambiens* (Pers. ex Fr.) Fr.

Bardo Śląskie. Na suchych gałęziach *Sambucus racemosa*, V.58.

*Valsa salicina* (Pers. ex Fr.) Fr.

Drobne kulistawe podkładki tworzą się w korze. Na powierzchni gałązek widoczne są małe brodawki zakończone płaską, brudno-białą tarczką, na powierzchni której znajdują się ujścia otoczni. Worki siedzące,  $45-60 \times 6,2-8,7 \mu$ , zarodniki workowe  $15-17,5 \times 2,5-3,8 \mu$ .

Sobótka. Przy drodze łączącej się ze szlakiem turystycznym na Słężę. Na gałązkach *Salix* sp. VI.59.

*Valsa auersvaldii* Nke.

Bardzo liczne, drobne, kulistawe podkładki, do 1 mm  $\phi$ , tworzą się w korze. Na powierzchni gałązek widoczne są stożkowate brodawki z białą tarczką na szczycie, na której znajdują się ujścia otoczni. Worki maczugowate, siedzące,  $45-52 \times 8-10 \mu$ , nieliczne w badanym materiale, 4-zarodnikowe. Zarodniki workowe  $15-17 \times 3,3-5 \mu$ . Konidia tworzą się w podobnych, tylko nieco mniejszych, podkładkach,  $5-6,9 \times 1,3-1,5 \mu$ .

Sobótka. Przy bocznej drodze biegnącej stokiem Słęży. Na młodych, suchych drzewkach *Betula pubescens*, VI.59.

*Valsa abietis* Fr.

Sobótka. Na martwych gałęziach *Abies alba*, VI.59.

?*Valsa currey* Nke.

W korze tworzą się liczne, drobne podkładki, kształtu stożkowatego o płaskim szczycie. Na powierzchni gałęzi widoczne są szarobrunatne tarczki, podziurawione ujściami otoczni. Worków nie zaobserwowano, gdyż zebrany materiał był dość stary. Zarodniki workowe  $12,5-17,5 \times 2,5-3,1 \mu$ .

Sobótka. Przy drodze leśnej na leżących na ziemi gałęziach *Larix* sp. VI.59.

*Leucostoma personi* (Nke.) v. Höhn.

[= *Valsa personi* Nke.]

Sobótka. Na okaleczonym, zamierającym, małym drzewku *Sorbus aucuparia*, przy drodze na skraju lasu. VI.59.

*Melanconis stilbostoma* (Fr.) Tul.

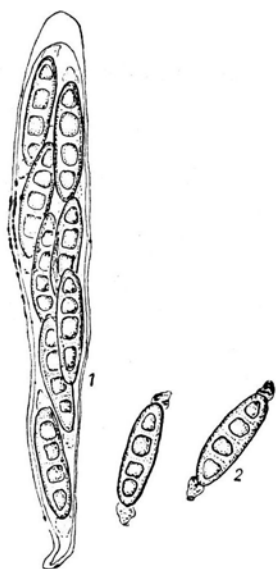
Bardo Śląskie. Na martwych gałęziach *Betula pubescens*, V.59, oraz Sobótka; zagajnik przy bocznej drodze również na *B. pubescens*, VI.59.

*Prostheciium innesii* (Currey) Whem.

Podkładki podobne jak u rodzaju *Valsa*, o kształcie ściętych stożków, o średnicy 1—2 mm. Szarawe tarczki wydostają się na powierzchnię podłoża przez pęknięcie perydermy. Wyciągnięte ujścia

otoczni są cylindrycznego kształtu i wystają ponad powierzchnię tarczki. Otoczni jest przeciętnie w podkładce od kilku do 20. Worki są maczugowatego kształtu, p. sp.  $69-85 \times 14-20,7 \mu$ , zarodniki workowe z galaretowatymi przyczepkami na końcach, bez przyczepki,  $18,4-30 \times 4,6-8 \mu$ , przyczepki  $4,6-5 \mu$  długości.

Bardo Śląskie. Na gałęziach *Acer campestre*. V.58 (ryc. 2).



Ryc. 2. *Prostheciium innesii*

1 — worek z zarodnikami; 2 — zarodniki workowe. 600 x

*Diaporthe leiphaemia* (Fr.) Sacc.

Bardo Śląskie. Na gałęziach *Quercus*. sp. V.56. i V.58. (ryc. 3 i 4).

*Diaporthe revellens* Nke.

Bardo Śląskie. Na martwych gałęziach *Corylus avellana*, V.58.

*Diaporthe circumscripta* Otth.

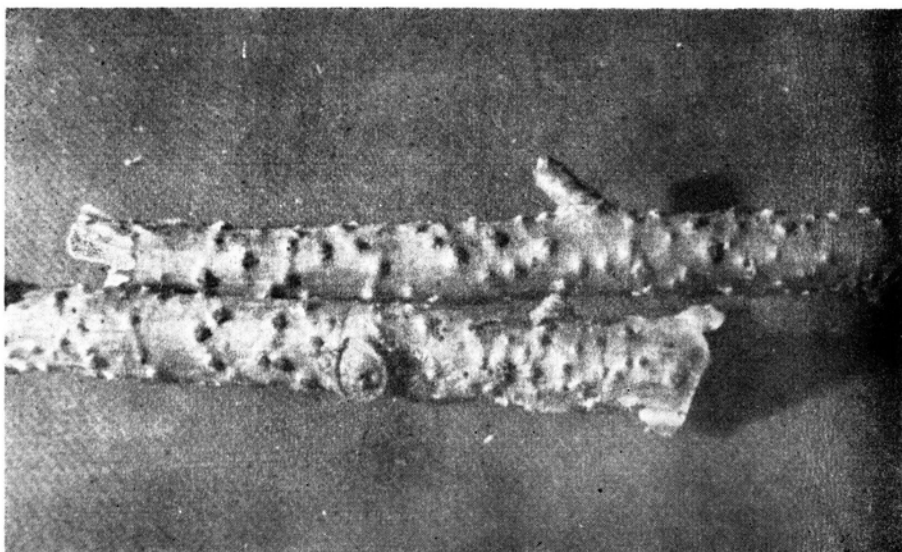
[= *Diaporthe spiculosa* Wehm.]

Podkładki są rozproszone po całej powierzchni opanowanych organów i tworzą lekko wypukłe wysepki przykryte perydermą żywiciela. Na zewnątrz widoczne są tylko skupienia wyciągniętych, cylindrycznych, czarnych ujęć otoczni. Otocznie tworzą gęste skupienia. Worki  $50,6-57,5 \times 5,6-6,9 \mu$ , zarodniki workowe  $11,5-14,3 \times 3,3-4,6 \mu$ , charakteryzują się krótkimi nitkowatymi przyczepkami na końcach.

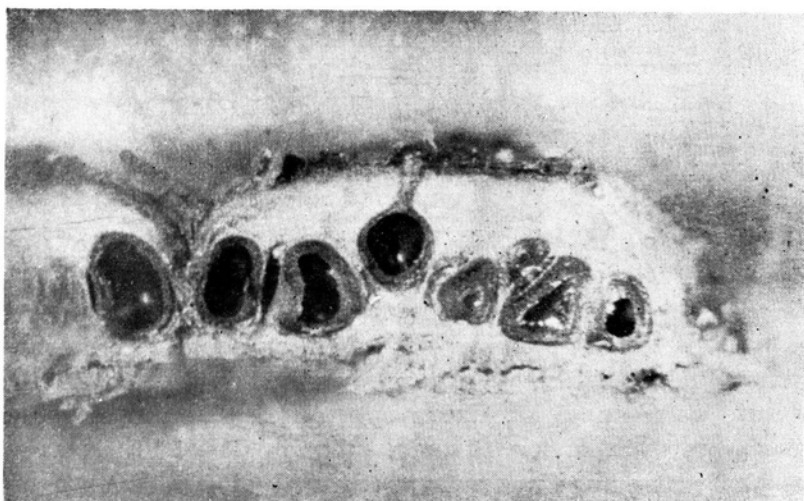
Bardo Śląskie. Na gałęzce *Sambucus racemosa*, rosnącego przy drodze. V.58.

*Diaporthe velata* (Pers.) Nke.

Sobótka. Na cienkich, martwych gałązkach *Tilia cordata*, na skraju lasu. VI.59.



Ryc. 3. *Diaporthe leiphaemia*. Gałązki dębu z widocznym na powierzchni owocowaniem grzyba w podkładkach



Ryc. 4. *Diaporthe leiphaemia*. Przekrój przez podkładkę uwidoczniający otocznie

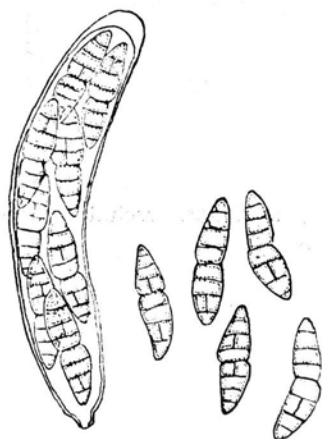
ASCOLOCULARES, DOTHIORALES sensu Müller et v. Arx. (1954)

*Dothiora pyrenophora* (Fr.) Fr.

[= *Dothiora sorbi* (Wahlbg.) Rehm.]

Podkładki liczne, czarne, wypukłe, o nieregularnym kształcie wydostają się na powierzchnię podłoża przez pęknięcie perydermy. Worki tworzą gęste skupienia wewnątrz podkładek, ustawione są do siebie równolegle. Worki siedzące,  $69-75 \times 11,5-13,8 \mu$ , zarodniki workowe podzielone poprzecznie i podłużnie,  $30-36,8 \times 6,1-6,9 \mu$ , z wyraźnym przewężeniem w środku, hialinowe.

Bardo Śląskie. Na martwych gałązkach *Sorbus aucuparia*. V.58. (ryc. 5).



Ryc. 5. *Dothiora pyrenophora*. 1 — Worek z zarodnikami; 2 — zarodniki workowe

FUNGI IMPERFECTI

MONILIALES

*Tubercularia vulgaris* Tode.

Bardo Śląskie. Na martwych gałęziach *Tilia cordata*. V.56.

SPHEROPSIDALES

*Phoma acuta* Fuckel.

Pod skórą zeschniętych, zeszłorocznych łodyg pokrzyw tworzą się kuliste, czarne pyknidy, których wyciągnięte o stożkowatym kształcie ujścia wydostają się na powierzchnię podłoża. Ujścia są tak duże, że można je dostrzec nawet gołym okiem w postaci b. małych, czarnych igiełek. Średnica pyknid  $378-432 \mu$ , długość ujścia  $86,4-162 \mu$ , średnica ujścia u nasady  $97,2-108 \mu$ . Konidia są hialinowe  $3,8-4,6 (5,6) \times 1,5 (2) \mu$ .

Bardo Śląskie. Przy drodze na skraju lasu. Na łodygach *Urtica dioica*. V.58.

*Phomopsis sambucina* Trav.

Pyknidy tworzą się w korze. Na powierzchni podłoża widoczne są ich ujścia, które wydostają się przez rozerwanie perydermy na szczycie małych, stożkowatych brodawek. Konidia  $7,5-10 \times 2,5-3,1 \mu$ , trzonki konidialne  $15-22 \times 1,8-2 \mu$ .  $\beta$ -konidia  $17,5-22 \times 1-1,5 \mu$ . Jest to stadium konidialne *Diaporthe circumscripta*.

Sobótka. Przy drodze, na gałęziach martwego krzewu *Sambucus* sp. V.59.

*Fusicoccum aucupariae* Grove

Liczne drobne podkładki tworzą się w korze, a na powierzchni gałązek widoczne są stożkowate brodawki, o płasko ściętym szczycie, w formie tarczki brudnobiałej, z ujściem pyknidy położonym centralnie. Konidia  $7,5-11,3 \times 3,1-3,7 (5) \mu$ .

Sobótka. Na gałązkach małego okaleczonego drzewka *Sorbus aucuparia*, rosnącego na skraju lasu, przy drodze. VI.59.

*Fusicoccum betulae* Cooke.

Sobótka. Na martwych gałązkach *Betula pubescens* w zaroślach brzoźowych przy bocznej drodze. VI.59.

*Cytospora ambiens* Sacc.

Bardo Śląskie. Na gałązkach *Sambucus racemosa* i *Acer campestre*, V.58, oraz Sobótka; na martwych gałązkach *Betula pubescens*, VI.59.

*Cytospora ceratophora* Sacc.

Bardo Śląskie. Na suchych gałązkach *Fraxinus excelsior*, V.56.

*Cytospora pustulata* Sacc. et Roum.

Bardo Śląskie. Na gałęziach *Fagus silvatica*, V.58.

*Sphaeropsis betulae* Cooke. *macrospora* n. var.

Liczne pyknidy tworzą się pod korą; na zewnątrz widoczne są nieduże wzniesienia. Z czasem na powierzchnię podłoża wydostają się ujścia pyknid przez pęknięcie perydermy. Konidia są żółtozielonawe, z ziarnistością wewnątrz,  $30-40 \times 9,2-11 \mu$ . Ponieważ Grove podaje wymiary konidiów:  $23-25 \times 8-10 \mu$ , a Allescher  $30-32 \times 9 \mu$ , co znacznie odbiega od zaobserwowanych, znaleziony przypadek określono jako nową odmianę o dużych zarodnikach, gdyż nie ma podstaw do tworzenia nowego gatunku.

Sobótka. Na gałązkach *Betula pubescens*. VI.59.

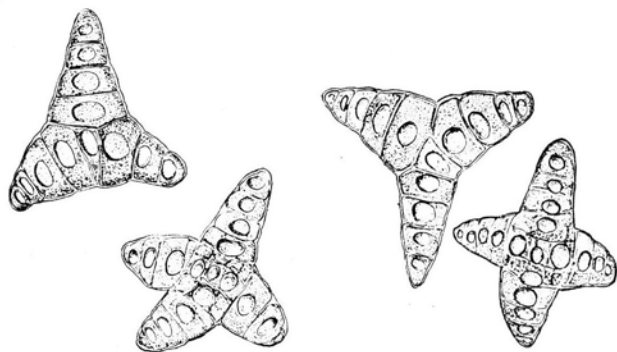
## MELANCONIALES

*Asterosporium hoffmani* Kunze.

Na powierzchni młodych gałązek buka pojawiają się najpierw poduszeczkowate, nieregularnego kształtu wzniesienia. W miarę rozwoju grzyba peryderma rozrywa się w miejscach wzniesień odsła-

niając łoża, na których powstaje owocowanie konidialne. Konidia w masie są barwy czarnej, kształt mają przeważnie trójramienny, czasami czteroramienny. Poszczególne ramiona są stożkowatego kształtu z trzema poprzecznymi przegrodami, barwy oliwkowobrunatnej. Wymiary ramion  $18,4-27,6 \times 13,8-16,1 \mu$ .

Bardo Śląskie. Na martwych gałązkach *Fagus silvatica*. V.58. Jest to, wg Tulasne, stadium konidialne, *Massaria, loricata* lub *M. eburnea* (Grove 1935). Ryc. 6.



Ryc. 6. *Asterosporium hoffmani*. Konidia; ca 670 x

*Melaconium bicolor* Nees.

Sobótka. Na gałązkach *Betula pubescens*, przy bocznej drodze. VI.59.

*Libertella salicis* A. L.

Na powierzchni gałązek widoczne są brodawki przykryte perydermą. Niekiedy brodawki te pękają na szczycie w formie podłużnej rysy i z wnętrza ich wydostaje się gęsta pomarańczowoczerwona ciecz tężejąca na powietrzu. Czasem przez perydermę prześwitują wycieki tej barwnej substancji, którą stanowi masa konidiów, nitkowatych, hialinowych, lekko zgiętych,  $25-32,5 \times 1,5 \mu$ .

Sobótka. Na gałęziach *Salix* sp. w zaroślach. VI.59.

Katedra Fitopatologii WSR we Wrocławiu

Pracownia Mikologiczna PAN w Warszawie



## RÉSUMÉ

L'auteur présente une liste de 33 espèces de champignons cueillis de 1955 à 1959 dans les forêts mixtes de Bardo Śląskie et Sobótka en Basse Silésie. 21 espèces appartiennent aux Pyrenomycetes, 12 aux Fungi imperfecti. Ces derniers présentent des formes conidiennes des Pyrenomycètes.

Presque tous ces champignons ont été trouvés sur les branches mortes des arbres et arbustes pour la plupart sur celles du hêtre et du bouleau.

L'auteur a donné une courte description des organes reproducteurs des espèces moins connues en Pologne.

## LITERATURA

- Allescher A., 1901—1903, Die Pilze Deutschlands, Oesterreiches und der Schweiz. Rabenhorsts Kryptogamen-Flora, 6, 7, Leipzig.
- Arx v. J. A. i Müller E., 1954, Beiträge zur Kryptogamenflora der Schweiz 11(1), Bern.
- Barnett H. L., 1956, Illustrated Genera of Imperfect Fungi, Burgess, Minneapolis.
- Grove W. B., 1935—1937, British Stem-and Leaf-Fungi. 1, 2, Cambridge.
- Kern H., 1955, Taxonomic studies in the genus *Leucostoma*, Pap. of Mich. Acad. of Sci., Arts., Let. 11:9—22.
- Munk A., 1957, Danish *Pyrenomycetes*. Dansk Bot. Arkiv. 17(1), Copenhagen.
- Nitschke Th., 1867, *Pyrenomycetes Germanici*, Breslau.
- Schroeter J., 1893, Kryptogamenflora von Schlesien, Breslau.
- Traverso J., 1906, Flora Italica Cryptogama, Rocca S. Casciano.
- Truszkowska W., 1959, Niektóre *Pyrenomycetes* z Puszczy Białowieskiej. Monographiae Botanicae, 8:192—220. Warszawa.
- Wehmeyer L. E., 1933, The Genus *Diaporthe* Nitschke and its Segregates, Ann. Arbor, Univ. of Mich. Press.
- Winter G., 1887, Die Pilze Deutschlands, Oesterreichs und der Schweiz. Rabenhorsts Kryptogamen-Flora, 2, Leipzig.